

Calibrage automatique d'un scanner cone-beam en vu d'une reconstruction par l'algorithme FDK

Catherine Mennessier
Rolf Clackdoyle

Objectif:

- **calibrage automatique** des **paramètres géométriques** d'un scanner cone-beam tels que les paramètres soient au **format** approprié pour l'algorithme **FDK**.
- **estimation analytique** des paramètres en fonction des données (\neq méthodes itératives).
- aucune hypothèse sur le type de trajectoire (calibrage **indépendant pour chaque position** du système).

Plan

2. Définition du problème
3. Rappels des principes généraux des méthodes de calibrage
4. Méthode proposée pour l'estimation des paramètres
 - Définition de la mire
 - Mise en correspondance
 - Système à résoudre
 - Estimation des paramètres
5. Quelques résultats par simulation numérique
6. Reconstruction FDK
 1. Estimation des paramètres dans un autre référentiel
 2. Exemple de résultats d'une reconstruction FDK à partir du calibrage

1. Définition du problème

On cherche à estimer les 9 paramètres :

- $s_x, s_y, s_z,$
- $\varphi, \eta, \theta,$
- f, u_p, v_p

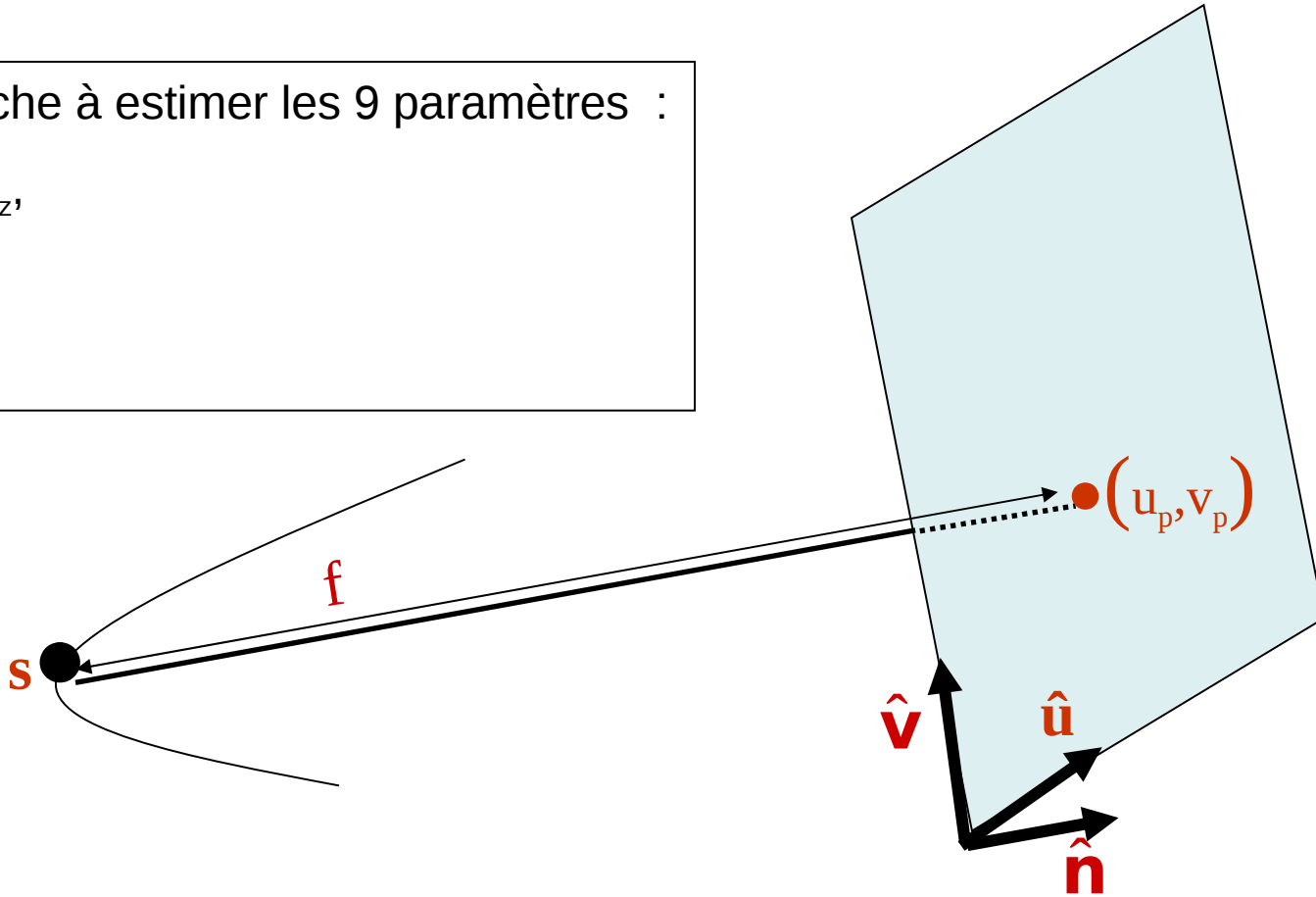


Fig1: paramètres géométriques du scanner.

2. Rappels sur les principes généraux des méthodes de calibrage

- Définition d'une mire 3D (un objet 3D de caractéristiques connus)
- Acquisition de sa projection
- Mise en correspondance de points 3D avec leur projections (\mathbf{r}_1, u_1, v_1) , (\mathbf{r}_2, u_2, v_2) , ...
- Définition d'un système d'équations dépendant des paramètres cherchés et des mesures sous la forme

$$S(s_x, s_y, s_z, u_p, \dots; (\mathbf{r}_1, u_1, v_1)) = 0 \quad (2 \text{ equ.})$$

$$S(s_x, s_y, s_z, u_p, \dots; (\mathbf{r}_2, u_2, v_2)) = 0 \quad (2 \text{ equ.})$$

$$\underbrace{\quad \quad \quad \vdots \quad \quad \quad}_{9 \text{ inconnues}} \quad \underbrace{\quad \quad \quad}_{\text{connus}} \quad (2 \text{ equ.})$$

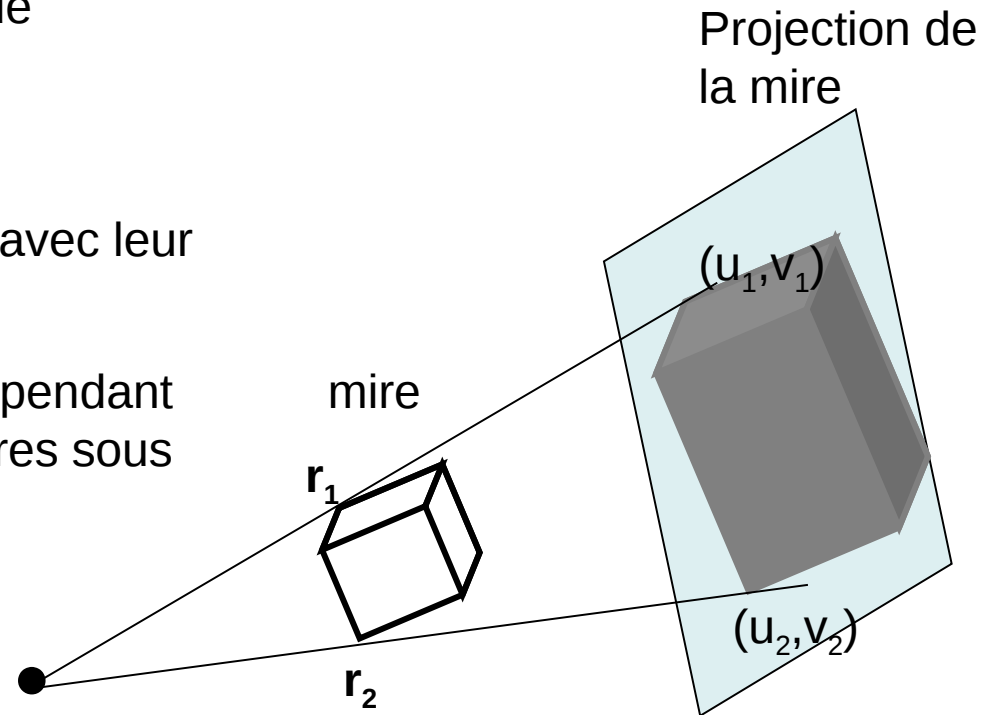


Fig2: une mire et sa projection.

5. Résolution de S pour estimer $s_x, s_y, s_z, u_p, \dots$

3. Méthode proposée: définition de la mire

Préambule: on s'intéresse, dans cet exposé, aux trajectoires presque planaires

Mire constituée de 6 billes:

- 2 billes/axe, symétriques/origine (Fig3)
- rotation de la mire \Rightarrow pas de chevauchement des projections des billes

Le repère du laboratoire sera lié à la mire

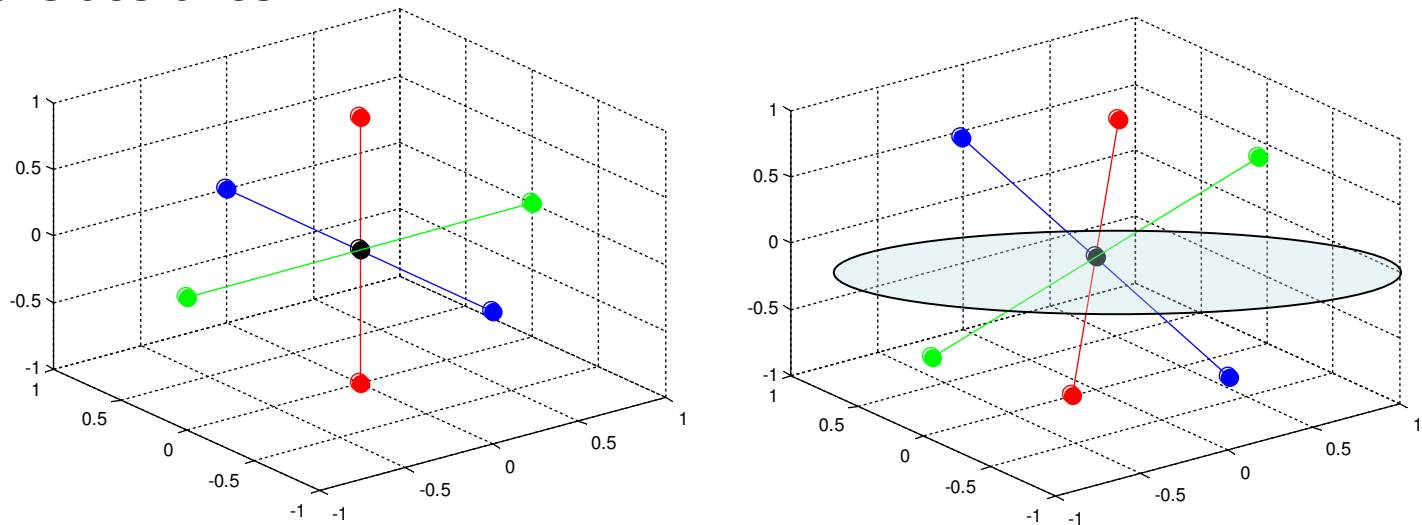


Fig3: définition de la mire. Sa rotation permet d'éviter le chevauchement des projections des billes.

3. Méthode proposée: mise en correspondance, choix de points

- On utilise des billes de **densités différentes**. Leur projection apparaît donc plus ou moins sombre sur les radiographies.
- On prend comme estimateur de la **projection du centre** des billes, le **barycentre** pondéré (par le niveau de gris) des ellipses.

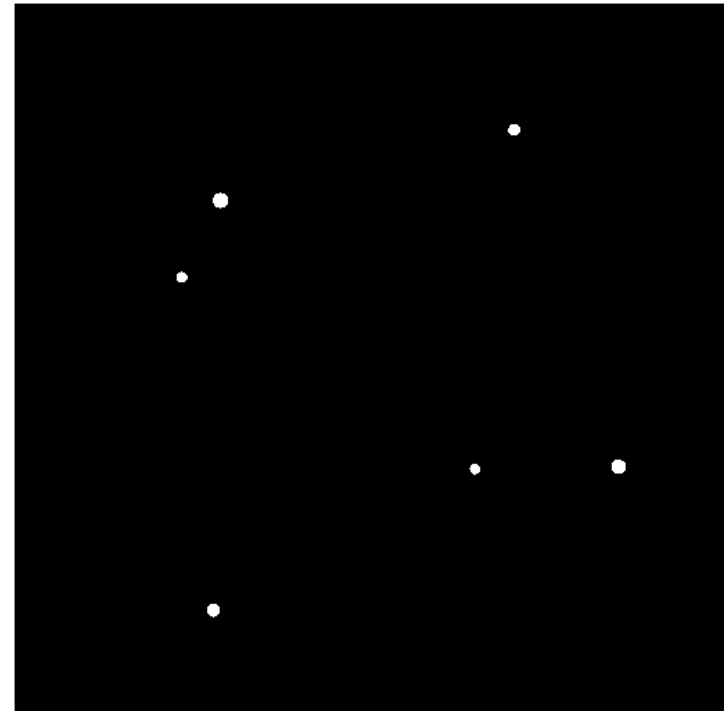


Fig4: une projection de la mire.

Après mise en correspondance bille/ellipse, on ne s'intéresse qu'aux centres des billes et à leur centres projetés (estimés via les barycentres).

3. Méthode proposée: système à résoudre

$$\begin{cases} \tilde{u}(\mathbf{r}) = u_p + f \frac{(\mathbf{r}-\mathbf{s}) \cdot \hat{\mathbf{u}}}{(\mathbf{r}-\mathbf{s}) \cdot \hat{\mathbf{n}}} \\ \tilde{v}(\mathbf{r}) = v_p + f \frac{(\mathbf{r}-\mathbf{s}) \cdot \hat{\mathbf{v}}}{(\mathbf{r}-\mathbf{s}) \cdot \hat{\mathbf{n}}} \end{cases}$$

Projection du centre de la mire

$$(1) \quad \begin{cases} \tilde{u}(\mathbf{r}) - u_c = \frac{\mathbf{a} \cdot \mathbf{r}}{\mathbf{c} \cdot \mathbf{r} + 1} \\ \tilde{v}(\mathbf{r}) - v_c = \frac{\mathbf{b} \cdot \mathbf{r}}{\mathbf{c} \cdot \mathbf{r} + 1} \end{cases} \quad \text{avec} \quad (2) \quad \begin{cases} \mathbf{a} = \frac{(u_p - u_c) \hat{\mathbf{n}} + f \hat{\mathbf{u}}}{-\hat{\mathbf{n}} \cdot \mathbf{s}} \\ \mathbf{b} = \frac{(v_p - v_c) \hat{\mathbf{n}} + f \hat{\mathbf{v}}}{-\hat{\mathbf{n}} \cdot \mathbf{s}} \\ \mathbf{c} = \frac{\hat{\mathbf{n}}}{-\hat{\mathbf{n}} \cdot \mathbf{s}} \end{cases}$$

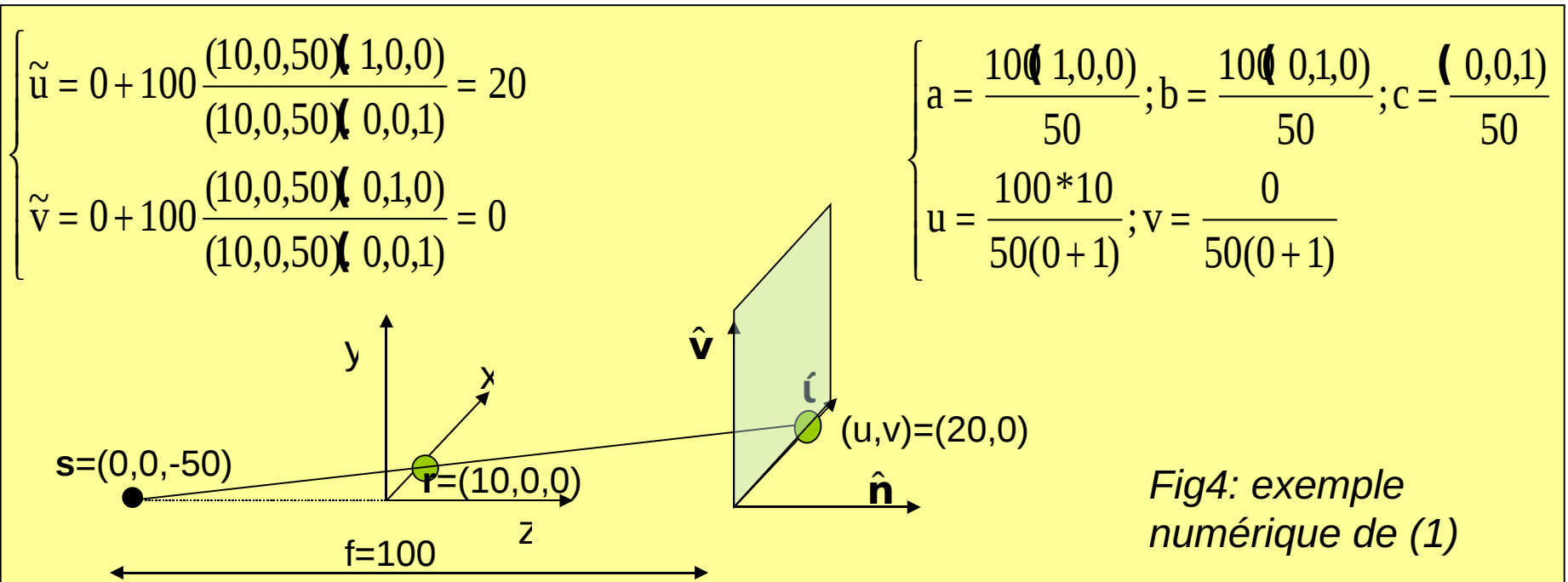


Fig4: exemple numérique de (1)

3. Méthode proposée: estimation des 9 paramètres

1. Estimation des vecteurs $(\mathbf{a}, \mathbf{b}, \mathbf{c})$ via équation (1)

$$r_1=(k,0,0), r_2=(-k,0,0) \Rightarrow \begin{aligned} u_1 &= \frac{k a_x}{k c_x + 1}; u_2 = \frac{k a_x}{k c_x - 1} \\ v_1 &= \frac{k b_x}{k c_x + 1}; v_2 = \frac{k b_x}{k c_x - 1} \end{aligned} \Rightarrow \begin{aligned} a_x &= \frac{2u_1 u_2}{k(u_2 - u_1)}; b_x = \dots; \\ c_x &= \frac{u_1 + u_2}{k(u_2 - u_1)} \end{aligned}$$

2. Estimation des 9 paramètres à partir de $(\mathbf{a}, \mathbf{b}, \mathbf{c})$ via équation (2)

$$\mathbf{u} = \varepsilon \frac{\mathbf{b} \times \mathbf{c}}{\|\mathbf{b} \times \mathbf{c}\|} \quad \mathbf{v} = -\varepsilon \frac{\mathbf{a} \times \mathbf{c}}{\|\mathbf{a} \times \mathbf{c}\|} \quad \mathbf{n} = -\varepsilon s_p \frac{\mathbf{c}}{\|\mathbf{c}\|},$$

$$\mathbf{f} = \frac{\|\mathbf{a} \times \mathbf{c}\| + \|\mathbf{b} \times \mathbf{c}\|}{2\|\mathbf{c}\|^2} \quad (u_p, v_p) = \frac{(\mathbf{a} \cdot \mathbf{c}, \mathbf{b} \cdot \mathbf{c})}{2\|\mathbf{c}\|^2} + (u_c, v_c),$$

$$\mathbf{s} = \frac{s_p}{\|\mathbf{c}\|} \left(\frac{\mathbf{a} \times \mathbf{c}}{\|\mathbf{a} \times \mathbf{c}\|} \mathbf{u} + \frac{\mathbf{b} \times \mathbf{c}}{\|\mathbf{b} \times \mathbf{c}\|} \mathbf{v} - \varepsilon \mathbf{n} \right)$$

avec $\varepsilon = -s_p \operatorname{sgn}(\mathbf{a} \times \mathbf{b} \cdot \mathbf{c})$ et

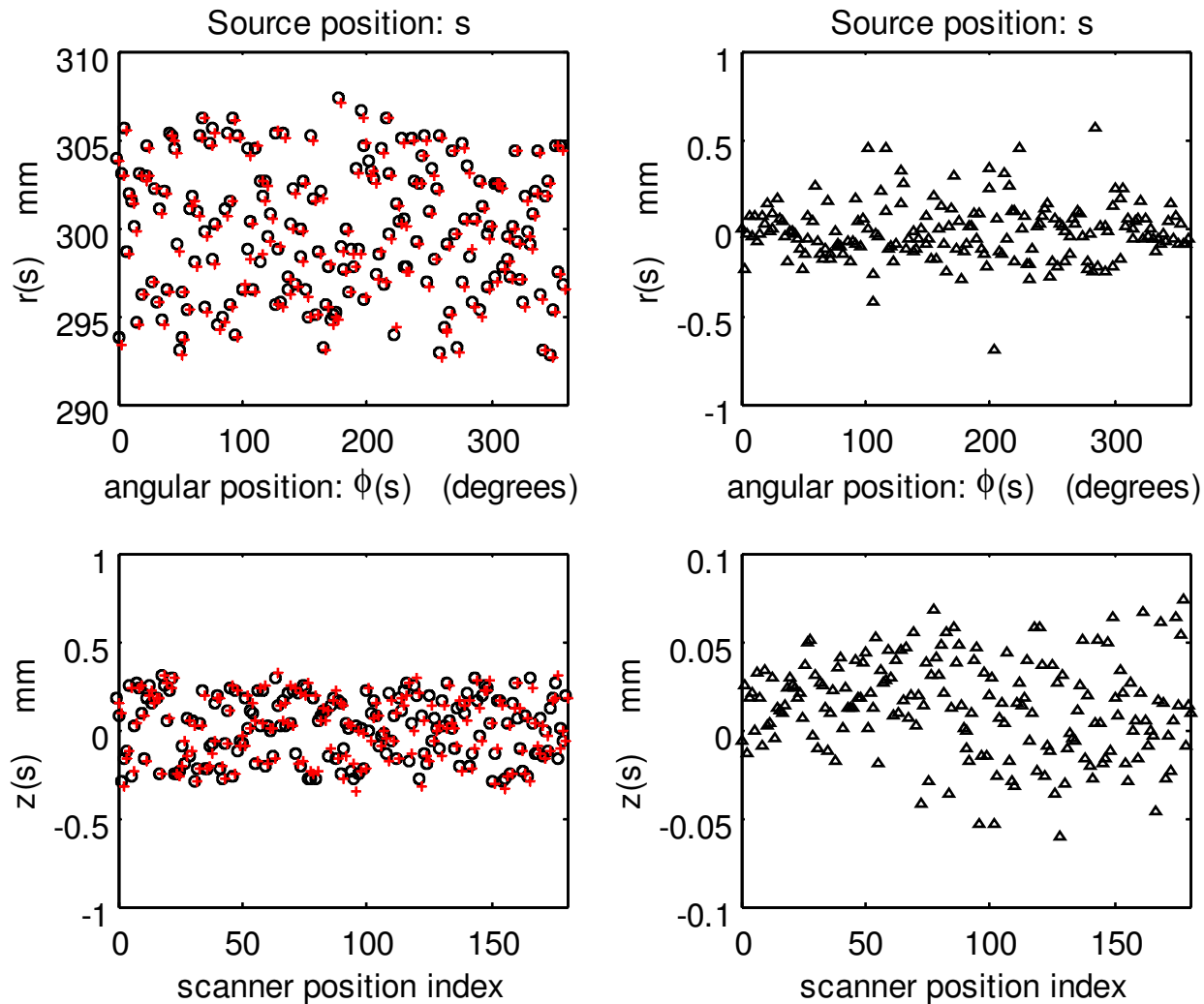
$s_p = \{1 \text{ si pinhole et } -1 \text{ si cone-beam}\}.$

3. Quelques résultats par simulations numériques

Paramètres de la simulation:

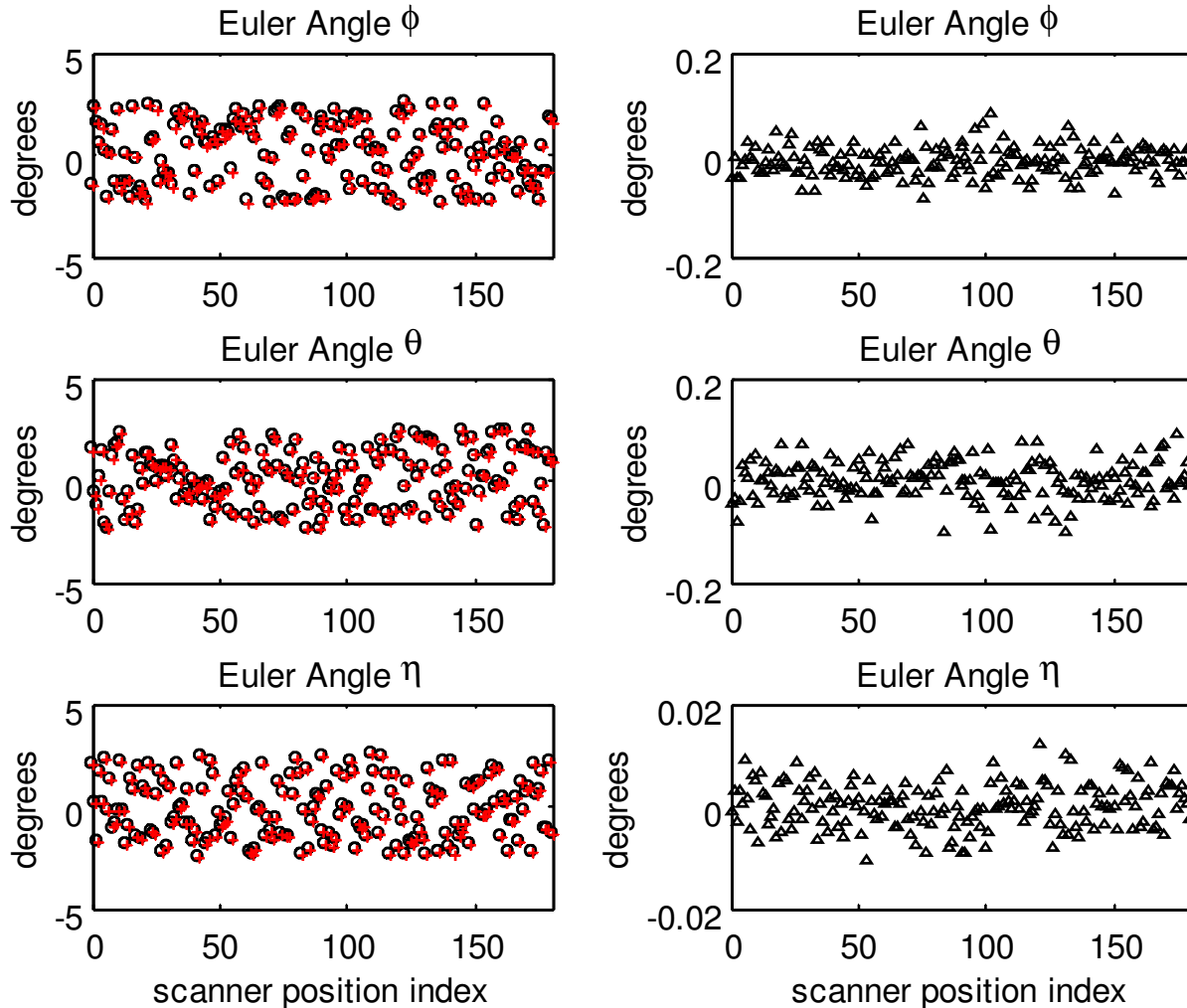
- détecteur: 512*512 pixels
- résolution 0.5mm/pixel
- focale 450mm
- rayon de la trajectoire 300mm
- 180 projections
- $k \approx 70\text{mm}$

3. Quelques résultats par simulations numériques



*Fig5: estimation de la **source** (g); erreur sur l'estimation (d).*

3. Quelques résultats par simulations numériques



*Fig6: estimation des **angles d'Euler** (g); erreur sur l'estimation (d).*

3. Quelques résultats par simulations numériques

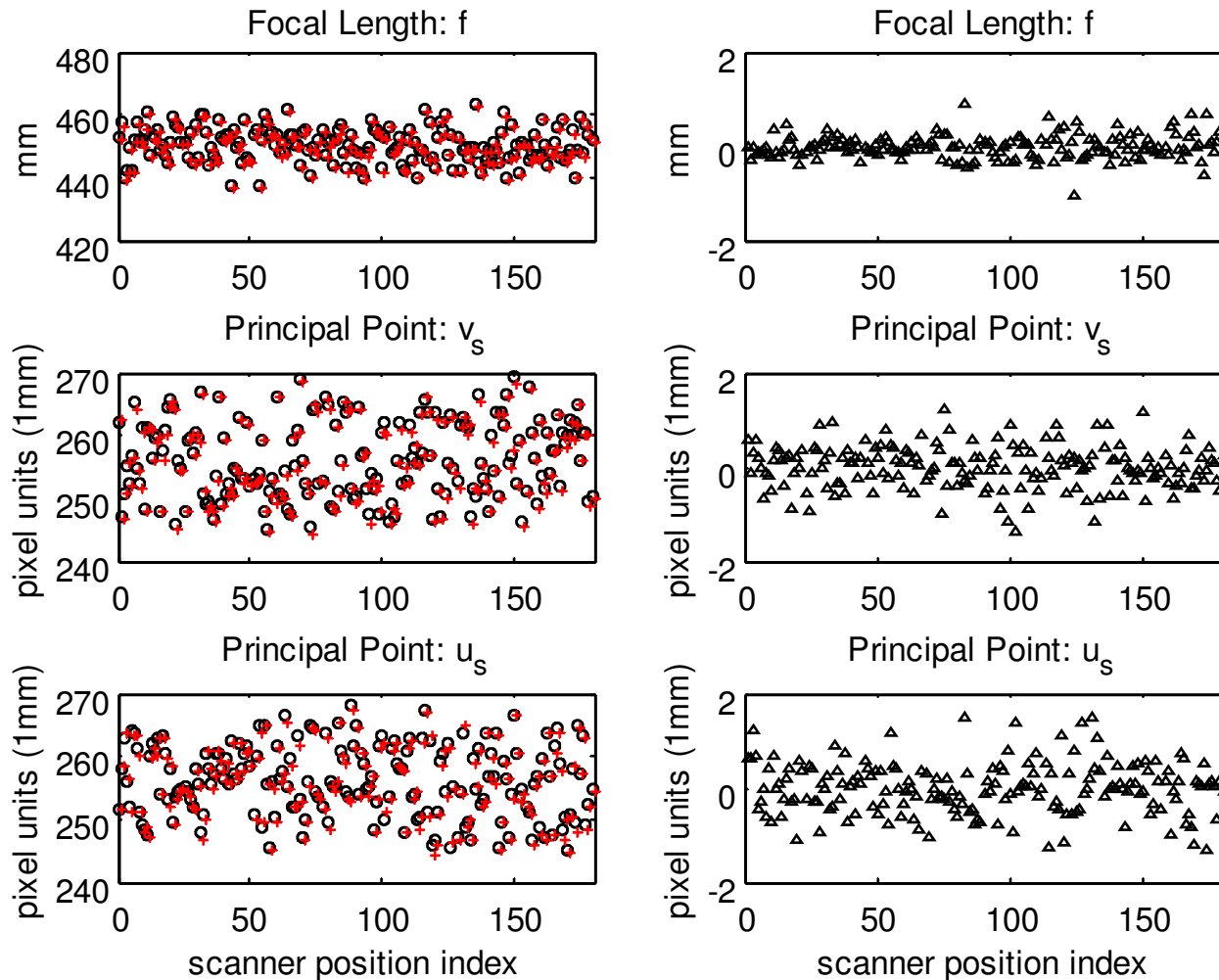


Fig8: estimation des paramètres intrinsèques (g); erreur sur l'estimation (d).

4. Reconstruction FDK

1. Changement de référentiel

- Les paramètres sont exprimés dans le repère de la mire, ce qui n'est pas adapté à une reconstruction FDK: le meilleur cercle contenant la trajectoire est estimé; les paramètres sont exprimés dans un nouveau repère adapté.

2. Reconstruction FDK

- Le filtrage est effectué perpendiculaire à l'axe de rotation. Les projections sont supposées angulairement régulièrement espacées.
- On pourrait prendre en compte les perturbations du système (orientation du détecteur, échantillonnage angulaire irrégulier) lors du filtrage.

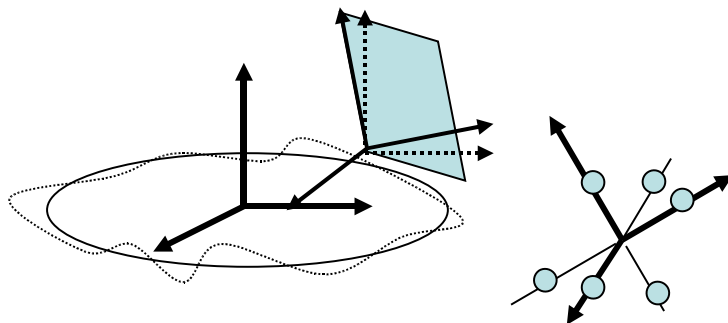


Fig9: estimation du meilleur cercle contenant la trajectoire et changement de repère.

4. Reconstruction FDK

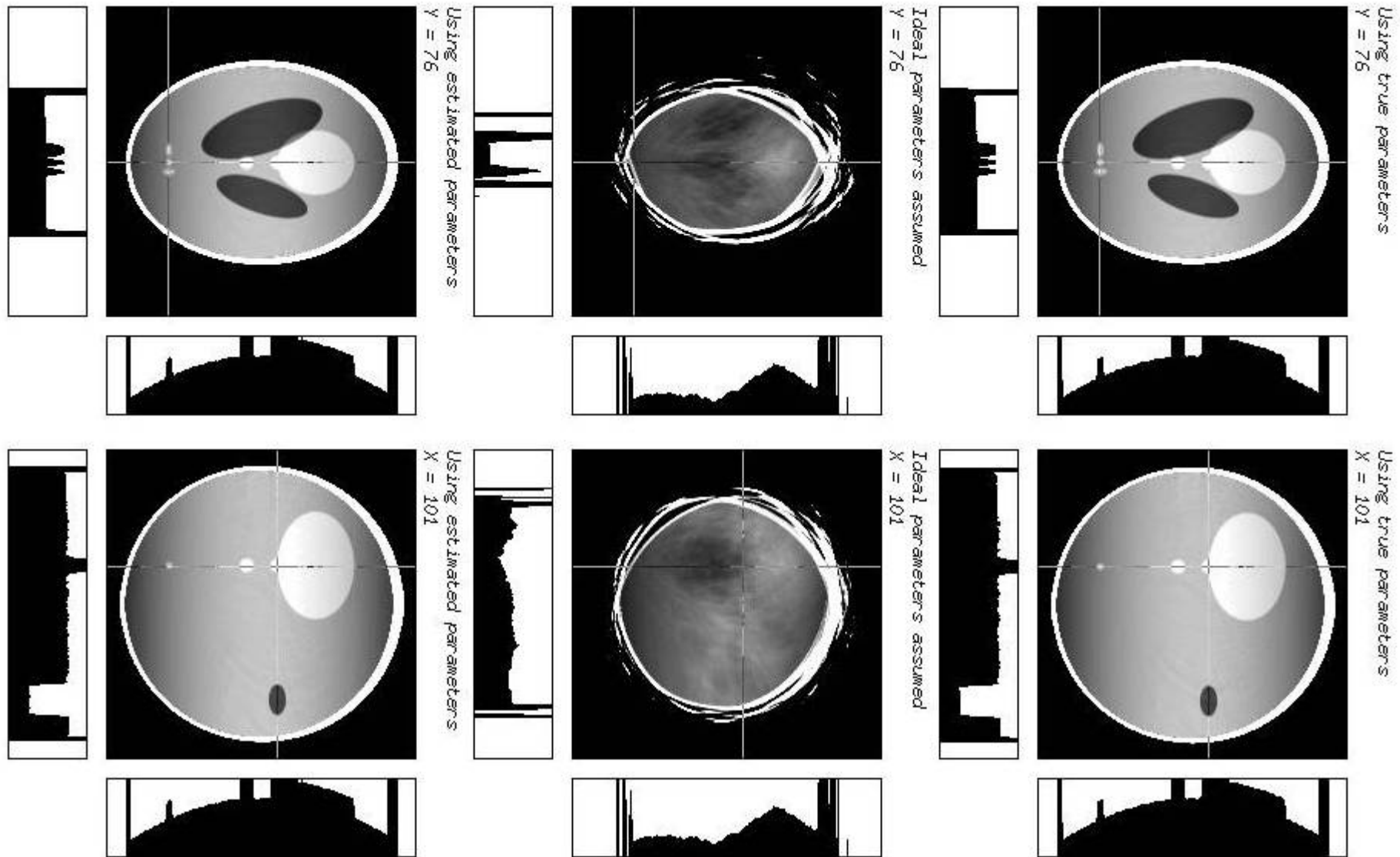


Fig10: reconstruction du Shepp Logan: (g) avec vrais paramètres, (c) si système idéal supposé, (d) avec paramètres du calibrage.

5. Conclusion et perspectives

1. Conclusion

- Calibrage automatique pour une trajectoire presque planair
- Reconstruction FDK
- Pour une trajectoire plus générale, il faut augmenter le nombre de billes de la mire du fait des chevauchements

2. Perspectives

- Correction algorithme FDK pour prendre en compte le non alignement du système